

شکل (۱۰) مقایسه نتایج آزمایشگاهی با نتایج نرم افزار ANSYS.

جدول (۱) نتایج آزمایش دینامیکی.

دامنه ورودی (mm)	فرکانس (Hz)	دامنه نیروی دینامیکی F'_0 (kg)	دامنه نیروی دینامیکی لوله $F_0 = \frac{135}{122} F'_0$ (kg)	دامنه تغییر مکان گره اولی u_0 (mm)	مقدار سختی عددی دینامیکی $\frac{F_0}{u_0}$ (kg/mm)	مقدار متوسط سختی دینامیکی
۱	۰/۵	۷/۶	۸/۴	-/۰۱۱	۷۶۳	۸۲۸
۲		۱۵/۱	۱۶/۷	-/۰۲۵	۶۶۸	
۴		۲۹/۲	۳۲/۳	-/۰۳۵	۹۲۲	
۸		۴۵/۱	۴۹/۹	-/۰۵۲	۹۵۹	
۱	۱/۰	۹/۳	۱۰/۳	-/۰۱۵	۶۸۷	۷-۰
۲		۱۳/۱	۱۴/۵	-/۰۲۱	۶۹۱	
۴		۱۷/۳	۱۹/۱	-/۰۲۸	۶۸۲	
۸		۲۸/۲	۳۱/۲	-/۰۴۱	۷۸۱	
۱	۲/۰	۸/۴	۹/۲	-/۰۱۵	۶۲۰	۶۲۲
۲		۹/۵	۱۰/۵	-/۰۲۰	۵۲۵	
۴		۱۷/۸	۱۹/۰	-/۰۲۸	۶۹۶	
۸		۲۴/۸	۲۷/۰	-/۰۴۰	۶۸۸	
۱	۴/۰	۵/۱	۵/۶	-/۰۱۲	۴۴۷	۵۲۲
۲		۷/۱	۷/۹	-/۰۱۵	۵۲۷	
۴		۹/۴	۱۰/۴	-/۰۱۸	۵۷۸	
۸		۱۴/۰	۱۶/۰	-/۰۳۱	۵۱۶	

مراجع

- [1] D. G. Honegger and P. B. Summer (1984), "Wave propagation effects on buried pipelines", American Society of Civil Eng., New York.
- [2] C. H. Lon, Y. S. Hwang (1989), "Pipeline response to spatial variation of seismic waves", P. V. P., Vol. 162, pp. 145-150.
- [3] F. Y. Cheng, J. F. Ger (1989), "Response analysis of 3-D pipeline structures with consideration of fix component seismic input", P. V. P., Vol. 162, pp. 216-226.
- [4] L. R. L. Wang, K. M. Cheng (1979), "Seismic response behavior of buried pipelines", Jour. Pressure Vessel Tech., v. 101, pp. 21-30.
- [5] S. Takada, K. Tanabe (1985), "Three dimensional

RC-A-77-6A.

- [6] E. C. Gooding (1985), "Uncertainties in seismic analysis of buried piping", P. V. P., Vol. 98-4, pp.173-184.
- [7] K. E. Hmadi and M. J. O'Rourke (1988), "Soil springs for buried pipelines axial motion", Jour. Geotech. Eng., Vol. 114, No. 11, pp. 1335-1339.
- [8] L. R. L. Wang, Y. H. Yeh (1989), "Combined effects of soil liqufaction and ground displacement to buried pipeline", P. V. P. vol. 162, pp. 43-51.
- [9] C. Singhal (1980), "Strength characteristics of buried jointed pipelines", Report to the Engineering Foundation and ASCE, Grant No.
- [10] A. Davis and J. P. Bardet (2000), "Responses of buried corrugated metal pipes to earthquakes", Jour. Geotech. and Geoenv. Eng., Vol. 126, No. 1, pp. 28-39.
- [11] M. J. Paulin, A. Trigg, R. Phillips, S. Hurley and J. I. Clark (1997), "A Full-Scale investigation into Axial pipeline/Soil Interaction in clay", 50th Canadian Geotechnical Conference, pp. 782-789.
- [۱۲] میرزاکل تبار روشن، علیرضا، «رساله دکتری مهندسی عمران گرایش سازه» زیر نظر دکتر حسین رجائی، دانشگاه صنعتی امیرکبیر، دانشکده مهندسی عمران، زمستان ۷۹.

آنالیز ضربه عرضی یک جسم متحرک بر روی صفحه ارتوتروپیک و بررسی بعضی از پارامترهای مؤثر در آن

سید محمد رضا خلیلی

استادیار

دانشکده مهندسی مکانیک، دانشگاه صنعتی خواجه نصیر الدین طوسی

چکیده

در مقاله حاضر، واکنش صفحات ارتوتروپیک در برابر با ضربه ای عرضی یک جسم متحرک به صورت تئوری و در قالب نیروی ضربه ایجاد شده و نیروی جنبش دهنده وارد به صفحه مورد بررسی قرار گرفته است. آنالیز در محدوده رفتار ارتباطی خطی در ماده در نظر گرفته شده است. نیروی جنبش دهنده مستقیماً با خیز صفحه در زیر محل برخورد تناسب دارد. نتایج بدست آمده حاکی از آن است که واکنش کامل بوسیله پارامتری بنام پارامتر ضربه λ قابل تعریف می‌باشد. ضربه برگشت پذیری، حداکثر نیروی ضربه و زمان تماس بین صفحه و ضربه زننده در قالب λ برآختی تعریف می‌گردد. در تحقیقات حاضر تغییرات انرژی ضربه نیز مورد مطالعه قرار گرفته و نتایج بدست آمده با نتایج حاصل از کارهای محققین در گذشته مقایسه و بررسی گردیده اند. نهایتاً، برای یک لایه اپوکسی تقویت شده به الیاف شیشه در قالب پارامتر بدست آمده، نقش کسر جرمی الیاف و پارامترهای ضربه زننده مانند جرم، سرعت و انرژی جنبشی آن بررسی شده و نتایج ترسیم گردیده اند.

کلمات کلیدی

کامپوزیت، ارتوتروپیک، ضربه عرضی، نیروی ضربه، انرژی ضربه، پارامتر ضربه

Transverse Impact Analysis of a Moving Body on Orthotropic Plate and Study the Influence of the Effective Parameters

S. M.R. Khalili

Assistant Professor

Mechanical Department,

K. N. T. University of Technology

Abstract

In the present paper, the response of orthotropic plates to transverse impact load due to moving body have been studied theoretically in terms of the induced impact load and the impulse imparted to the plate. The analysis assumes linear elastic behaviour of the material. The impulse is directly proportional to the deflection under the point of impact. The results obtained show that the complete response is described by a single parameter called impact parameter λ . The coefficient of restitution, maximum impact force, and time of contact between the impactor and the plate can be easily determined in term of λ . The variation of the energy of impact is also considered and the approximate expressions used by others discussed. Finally, for a glass fibre reinforced epoxy lamina, the roles of the volume fraction of fibres and the impactor parameters such as its mass, velocity and kinetic energy are ascertained and useful conclusions drawn.

Keywords

Composite, Orthotropic, Transverse impact, impact force, Impact energy, Impact parameter

مواد کامپوزیت الیافی اولین بار در قسمت حفاظت رادار هواپیما در زمان جنگ جهانی دوم مورد استفاده قرار گرفت و از آن به بعد کاربردهای مهندسی این مواد بطور وسیع گستردگی دارد. هم اکنون این مواد غالباً بعنوان سازه‌های اصلی در هواپیماها، سفینه‌های فضایی، زیر دریایی‌ها، کشتی‌ها، حمل و نقل زمینی و غیره استفاده می‌شوند. در حقیقت، در همه این کاربردها که وزن پایین در کنار استحکام و سفتی بالا یکی از ملاحظات بسیار مهم است، مواد کامپوزیت از اولین انتخاب‌ها می‌باشد. هر چند، استقرار الیافی مانند کولار، کربن، بر یا شیشه در داخل مواد ماتریس باعث تضعیف بعضی از خواص کامپوزیت‌ها می‌شود. علت این امر قرار دادن الیاف پیوسته در داخل ماتریس می‌باشد که ماده کامپوزیت را به یک ماده ارتوتروپیک تبدیل می‌نماید. ماده‌ای با خواص متفاوت در امتداد سه جهت عمود بر هم را ماده ارتوتروپیک می‌نمایند. در شکل ۱، یک لایه (Lamina) کامپوزیت الیافی (ارتوتروپیک) که الیاف بسیار ریز بطور منظم وبا تراکم هگزاگونالی در کنار هم قرار گرفته اند را مشاهده می‌نمایید. الیاف بواسطه دارا بودن شکل هندسی باریک و طویل، زمانیکه در ماتریس قرار می‌گیرند، خصوصیات بسیار مناسب و بالایی را در امتداد طولشان برای ماده کامپوزیتی بدست آمده فراهم می‌آورند، لیکن در امتدادهای عمود به محور طولی الیاف (صفحه عرضی) خواص ماده کامپوزیت بسیار پایین‌تر از خواص طولی می‌باشد. معمولاً کامپوزیت‌های چند لایه (Laminate) با لایه‌های متععدد استفاده می‌شود که در هر لایه الیاف با امتداد معینی جهت جبران بخشی از ضعف خواص عرضی قرار دارند [۱]. لذا چنانچه بارهای عرضی، مانند ضربه عرضی بر این صفحات کامپوزیتی وارد شود، واکنش صفحه در برابر این بارها ضعیف می‌باشد و رخداد ضربه باعث وارد آوردن نیروهای تماسی بسیار بالا بر روی مساحت بسیار کوچک از این مواد می‌شود و در مدت زمان بسیار کوتاه، تنش‌های بالا و همچنین تغییر شکل‌های ارتجاعی و پلاستیکی و بسیاری از واماندگی‌ها (Failures) ممکن است رخ دهد؛ واماندگی‌هایی مانند تورق، شکست ماتریس، خرد شدن الیاف و یا جدا شدن الیاف از ماتریس.

خصوصیات ضربه عرضی مواد را می‌توان به وسیله آزمایش ضربه و زنگ افتان برای صفحات تعیین نمود. در آزمایش استاندارد و زنگ افتان، صفحه با تکیه گاه ساده می‌باشد و یک ضربه زننده با جرم معلوم از ارتفاع مشخصی به مرکز صفحه سقوط می‌کند. انرژی ضربه زننده را می‌توان بوسیله تغییر در جرم، تغییر در ارتفاع سقوط و بنابراین

سرعت ضربه و همچنین هر دو مورد قبلی با هم تغییر داد. واکنش ضربه مواد را می‌توان در قالب میزان و ماهیت خرابی (Damage) ایجاد شده در صفحه اندازه‌گیری کرد. خرابی ایجاد شده را نیز می‌توان با استفاده از روش‌های آزمایش غیر مخرب مشاهده نمود. در بعضی از آزمایش‌های ضربه، ضربه زننده را توسط وسایل الکترونیکی پیشرفت تجهیز می‌نمایند تا ماهیت نیروی ضربه ایجاد شده در خلال ضربه را بدست آورند. همچنین کار انجام شده توسط ضربه زننده در خلال ضربه را می‌توان بطور تقریب اندازه‌گیری کرد و بنابراین انرژی انتقال یافته به صفحه را بدست آورد. این انرژی باعث بسیاری از خرابی‌های در صفحه می‌شود. قاسمی نژاد و همکارانش [۲] و همچنین ردین و همکارانش [۳] آزمایشات متفاوتی را بر روی صفحات کامپوزیت الیافی در ترازهای متفاوت انرژی و با سرعت‌های مختلف ضربه انجام داده‌اند. از تحقیقات فوق نتیجه گرفته شد که هر چند اثر سرعت ضربه قابل توجه نمی‌باشد، لیکن انرژی ضربه تأثیر بسیاری در واکنش و کارایی صفحات در برابر ضربه دارد. این امر باعث شد تا در تحقیقات حاضر، با استفاده از یک روش تحلیلی [۴، ۵، ۶] برای حل واکنش ضربه عرضی صفحات ارتوتروپیک ارتجاعی، معادلات لازم برای کسر حجمی الیاف در صفحات و پارامترهای اصلی ضربه زننده یعنی جرم، سرعت و انرژی جنبشی ضربه زننده بدست آید و تأثیر آنها مورد بررسی قرار گیرد. تاکنون، تحقیقات زیادی بر روی ضربه و پاسخ دینامیکی صفحات کامپوزیتی بصورت تحلیلی، عددی و تجربی انجام گردیده [۷، ۸، ۹، ۱۰]، ولی اثر پارامترهای ضربه در پاسخ دینامیکی کامپوزیت‌ها بیشتر با روش‌های تجربی [۱۱، ۱۲، ۱۰، ۳، ۲] و در بعضی موارد روش‌های عددی [۱۲، ۱۳] مورد بررسی قرار گرفته و تاکنون بررسی این اثرات بصورت تحلیلی مشاهده نشده است. چون صفحه به صورت ارتوتروپیک فرض شده، واضح است که نتایج این تحقیق را می‌توان مستقیماً برای صفحات کامپوزیتی تقویت شده به الیاف پیوسته تک جهته استفاده نمود. همچنین در منابع دیگر [۱۴، ۱۵] نشان داده شده است که همین معادلات حاکم، برای صفحات چند لایه متقارن کاربرد دارد به شرطی که $D_{26} = D_{16} = 0$ در نظر گرفته شود، یعنی صفحات چند لایه متقارن عمود برهم که جهت الیاف در هر لایه عمود بر جهت الیاف در لایه دیگر است. چون پلیمرهای تقویت شده با الیاف پیشرفت مانند گرافیت، کربن یا پرساخته می‌شوند، می‌توان رفتار این صفحات را تاشکست ارتجاعی در نظر گرفت. البته آنالیز فوق رخداد شکست ماتریس، خرد شدن الیاف و تورق

(۴)

جزئیات راه حل معادله (۱) در مراجع [۶,۵] ارائه گردیده است. بنابراین، خیز صفحه بوسیله معادله زیر ارائه می شود:

$$w(x,y,t) = \frac{3}{\pi^2 \sqrt{\rho h}} \int_0^t F(\tau) \int_0^{\pi/2} \int_0^{\infty} \cos(xpcos\phi)$$

$$\cos(ypsin\phi) g(\Lambda) \times \frac{\sin \omega(t-\tau)}{\omega} pdp d\phi dt \quad (5)$$

که

$$\omega = \frac{p^2}{\sqrt{\rho h}} \sqrt{D_1 \cos^4 \phi + 2D_3 \sin^2 \phi \cos^2 \phi + D_2 \sin^4 \phi} = \frac{p^2}{\sqrt{\rho h}} \Phi \quad (6)$$

$$g(\Lambda) = \frac{1}{\Lambda^2} \left[\frac{\sin \Lambda}{\Lambda} - \cos \Lambda \right] \quad (7)$$

$$\Lambda = p \sqrt{a^2 \cos^2 \phi + b^2 \sin^2 \phi} \quad (8)$$

در راه حل بالا، ویژگی خاص در این است که نیروی ضربه نه بصورت متمرکز در یک نقطه در نظر گرفته شده بطوریکه در تحقیقات [۱۷, ۱۶, ۱۵] می باشد و نه به اختیار، شکل و اندازه منطقه تماس انتخاب گردیده بطوریکه در تحقیقات [۱۸] انجام شده است. در کار حاضر، منطقه تماس و توزیع فشار تماس $f(x,y)$ از تئوری تماس اسوکلو [۱۹] برای دو جسم غیر ایزوتropیک تحت فشار بدست آمده است. بر طبق این تئوری، نیروی تماس بر روی منطقه بیضی شکل با نیم محورهای اصلی a و b توزیع می گردد، شکل ۱، و این توزیع نیروی تماس به صورت زیر ارائه شده است:

$$f(x,y) = \frac{3F}{2\pi ab} \left[1 - \frac{x^2}{a^2} - \frac{y^2}{b^2} \right]^{1/2} \quad (9)$$

این نتیجه از تئوری اسوکلو با تئوری کلاسیک هرتز [۲۰] که برای اجسام ایزوتropیک در تماس ارائه شده، مشترک است. بعلاوه، قانون تماس اسوکلو برای اجسام غیر ایزوتropیک شبیه به قانون هرتز است، یعنی:

$$F = K \delta^{3/2} \quad (10)$$

پارامتر K می باشد از طریق روش عددی پیچیده [۲۱,۵] بدست آید. البته K برای اجسام ایزوتropیک بسادگی تعیین می گردد [۲۲, ۱۶]. اثر مساحت غیر صفر تماس بوسیله تابع $(\Lambda)g$ در معادله

را در نظر نمی گیرد. بنابراین نتایج بدست آمده در این تحقیق مانند $F(t)$ و Λ شروع این عیوب اعتبار خواهد داشت. یکی از ویژگی های آنالیز حاضر این است که کل واکنش ضربه در قالب پارامتر Λ بدست می آید که خود بستگی به سفتی های خمشی صفحه و جرم و سرعت ضربه زننده دارد. به لحاظ اینکه در طراحی سازه های مواد کامپوزیت، یکی از پارامترهای مهم می باشد، در کار حاضر نقش این پارامتر را بوسیله ارائه دادن سفتی های خمشی در قالب Λ بوضوح نشان داده ایم. نهایتاً، واکنش صفحه کامپوزیتی تقویت شده به الیاف شیشه را در ضربه عرضی مورد بررسی قرار داده و اثرات کسر حجمی الیاف، جرم، سرعت و انرژی جنبشی ضربه زننده را بدست آورده ایم.

معادله حرکت و خیز صفحه

یک صفحه ارتوتروپیک بزرگ را که در معرض ضربه عرضی مطابق با شکل ۱ قرار گرفته است در نظر بگیرید. محورهای (x,y,z) دستگاه مختصات، با جهات اصلی ماده بر هم منطبق می باشند و مبداء سیستم مختصات در مرکز منطقه تماس قرار دارد. برای صفحه تقویت شده به الیاف، محور x محور طولی الیاف یعنی محور ۱ و محور y امتداد عرض الیاف در صفحه کامپوزیت یعنی محور ۲ بر روی سطح میانی می باشند. صفحه همگن و با ضخامت یکنواخت h و دانسیته ρ است. معادله حرکت این صفحه ارتوتروپیک که در معرض نیروی $f(x,y,t)$ قرار گرفته بوسیله معادله زیر ارائه می شود [۱۴, ۵].

$$D_1 \frac{d^4 w}{dx^4} + 2D_3 \frac{d^4 w}{dx^2 dy^2} + D_2 \frac{d^4 w}{dy^4} + \rho h \frac{d^2 w}{dt^2} = f(x,y,t) \quad (1)$$

معادله (۱) بر پایه تئوری کلاسیک صفحه می باشد و بنابراین اثرات اینرسی چرخشی و برش عرضی نادیده گرفته شده است. در معادله بالا سفتی های خمشی و پیچشی صفحه D_1 , D_2 و D_3 به صورت زیر تعریف می گردند:

$$D_1 = D_x = \frac{E_1 h^3}{12(1-\nu_{12}\nu_{21})} \quad (2)$$

$$D_2 = D_y = \frac{E_2 h^3}{12(1-\nu_{21}\nu_{12})} \quad (3)$$

$$D_3 = D_{12} + 2D_{66} = \frac{1}{2} (D_1 \nu_{21} + D_2 \nu_{12}) + \frac{G_{12} h^3}{6}$$

$$E(t) = F_0 t \left[v_0 - \frac{F_0 t}{2m_s} \right] = v_{ave} I(t) \quad t \leq T_c$$

$$E(t) = F_0 T_c \left[v_0 - \frac{F_0 T_c}{2m_s} \right] = v_{ave} I(t) \quad t > T_c \quad (36)$$

بنابراین، برای بارگذاری پالس مستطیلی، معادله (۳۱) معتبر است. هر چند، برای پالس نیم سینوسی، این اعتبار بدست نمی آید، یعنی وقتی که:

$$F(t) = F_0 \sin \frac{\pi t}{T_c} \quad t \leq T_c \quad (37)$$

$$F(t) = 0 \quad t > T_c$$

انرژی ضربه می شود:

$$E(t) = \left[\frac{v_0 F_0 T_c}{\pi} - \frac{F_0^2}{m_s} \left(\frac{T_c}{\pi} \right)^2 \right] \left[1 - \cos \frac{\pi t}{T_c} \right]$$

$$+ \frac{F_0^2}{m_s} \left(\frac{T_c}{2\pi} \right)^2 \left[1 - \cos \frac{2\pi t}{T_c} \right] \quad t \leq T_c$$

$$E(t) = \frac{2F_0 T_c}{\pi} \left[v_0 - \frac{F_0 T_c}{m_s \pi} \right] = v_{ave} I(t) \quad t > T_c \quad (38)$$

بنابراین معادله (۳۱) اعتبار محدودی برای پالس نیم سینوسی دارد. ترسیم معادلات (۲۶) و (۳۸) در شکل ۷ می باشد. در این شکل نیرو، نیروی جنبش وارد و انرژی، بی بعد گردیده اند. منحنی انرژی-زمان برای پالس سینوسی یک برآمدگی واضحی را نشان می دهد که در نتایج تجربی [۲] نیز گزارش گردیده است.

نتایج بدست آمده و بحث

آنالیز بالا برای هر صفحه کامپوزیتی که دارای تقویت کننده های الیافی پیوسته و هم امتداد باشد، قابل بکارگیری است. یعنوان مثال در کار حاضر، کامپوزیت لایه ای الیاف شیشه در ماتریس اپوکسی در نظر گرفته شده است. مرحله اول در ترسیم واکنش آزمایش ضربه، محاسبه ثابت های لایه برای کسرهای حجمی مقاومت است. برای این منظور، خواص ارتجاعی الیاف شیشه و ماتریس بکار برده شده در کامپوزیت، در زیر در نظر گرفته شده است.

برای الیاف (شیشه): مدول ارتجاعی 78GPa، نسبت

شده توسط صفحه بوسیله معادله زیر ارائه شده است [۳۰]:

$$E(t) = \int_0^t F(\tau) dw_s = \int_0^t F(\tau) w_s^*(\tau) d\tau \quad (29)$$

در بعضی تحقیقات در پدیده ضربه، E(t) بطور تقریب آورده شده است [۲۹]:

$$E(t) \sim E_a(t) = v_0 \int_0^t F(\tau) d\tau = v_0 I(t) \quad (30)$$

عبارت دیگر، E(t) با نیروی جنبش دهنده وارد به صفحه تناسب دارد. در بعضی تقریبات اصلاح شده، سرعت اولیه v₀ بوسیله سرعت میانگین جایگزین می گردد، یعنی:

$$E(t) \sim E^*(t) = v_{ave} \int_0^t F(\tau) d\tau \quad (31)$$

بنابراین، E(t) دوباره متناسب با نیروی جنبش دهنده وارد به صفحه فرض شده است:

در کار حاضر با استفاده از روش تحلیلی [۵]، معادله تعیین انرژی ضربه را در قالب λ بدست آورده ایم. چون سرعت ضربه زننده توسط معادله زیر ارائه می گردد:

$$w_s^0(t) = v_0 - \frac{1}{m_s} \int_0^t F(\tau) d\tau \quad (32)$$

انرژی ضربه E(t) پس از ساده سازی بوسیله معادله زیر تعیین می شود:

$$E(t) = v_0 I(t) - \frac{1}{m_s} \int_0^t F(\tau) I(\tau) d\tau \quad (33)$$

فرم بی بعد معادله (۳۳) توسط معادلات (۲۱)، (۲۲) و (۲۳) به صورت معادله (۳۴) می شود:

$$E' = \frac{E}{m_s v_0^2} = \left[\int_0^t f(\tau) d\tau - \int_0^t f(\tau) \int_0^{\tau} f(\tau^*) d\tau^* d\tau \right] \quad (34)$$

برای یک پالس مستطیلی مطابق زیر:

$$F(t) = F_0 \quad , \quad t \leq T_c \quad (35)$$

$$F(t) = 0 \quad , \quad t > T_c$$

معادله (۳۳) می شود:

دارد. به خاطر درک بهتر از تأثیر ν بر α_p^* ، یک پارامتر جدید α_p^* معرفی می شود:

$$\alpha_p^* = h^2 \alpha_p = \frac{F \left(\frac{\pi}{2}, \frac{K}{h} \right)}{2\pi \sqrt{\frac{\rho \sqrt{E_1 E_2}}{3(1-\nu_{12}\nu_{21})}}} \quad (39)$$

شکل ۱۰ تغییرات α_p^* را با ν نمایش می دهد. با تعیین K و α_p^* ، نهایتاً می توان λ را که به تنها یک واکنش ضربه را کنترل می نماید، بدست آورد. معادله λ یعنی معادله (۲۳) را می توان به صورت زیر دوباره نویسی کرد:

$$\lambda = \frac{(\alpha_p^* K^{2/5})(\nu_0 m_s^3)^{1/5}}{h^2} = \frac{\lambda_I \lambda_{II}}{h^2} \quad (40)$$

عبارات در پرانتز اول با λ معرفی می شوند و بستگی به کسر حجمی دارند، در صورتیکه عبارات دیگر، یعنی λ_{II} و h^2 غیر وابسته به ν هستند. بنابراین، تأثیر ν بر روی واکنش ضربه بسادگی قابل تشخیص است. بطور مشابه، نقش جرم و سرعت ضربه زننده بعلوه ضخامت صفحه مستقیماً از معادله (۴۰) قابل درک است. شکل ۱۰ تغییرات λ و ν را نیز نمایش می دهد.

پواسون / ۰.۰۲۲، دانسیته 2540 kg m^{-3} می باشد.
برای ماتریس (اپوکسی): مدول ارجاعی 3 GPa ، نسبت پواسون / ۰.۰۲۵، دانسیته 1500 kg m^{-3} می باشد.
از طریق مدل های ارائه شده در مکانیک مواد مرکب [۳۱]، سفتیهای مواد تعیین گردیده اند. نتایج بعضی از محاسبات در شکل ۸ آورده شده است.

مرحله بعدی در ترسیم واکنش آزمایش ضربه، محاسبه نمودن پارامترهای تماس است، یعنی K ، نامدوّری a و اندازه b بیضی تماس. برای یک صفحه ایزوتروپیک این محاسبات خیلی ساده می باشد و در مراجع متفاوت آورده شده است [۲۲, ۲۱, ۱۶, ۵]، ولی برای یک صفحه ارتوتروپیک روش پیچیده تر می باشد. ضربه زننده یک گلوله فولادی با خواص ارجاعی زیر است، $E=211 \text{ GPa}$ ، $G=82.46 \text{ GPa}$ ، $\nu=0.28$. جزئیات در مرجع [۵] ارائه شده است. برای این محاسبات یک برنامه نویسی کامپیوتری انجام گردیده و نتایج به صورت ترسیمی در شکل ۹ نشان داده شده است.
تمامی این پارامترها در قالب ν ترسیم گردیده اند. بعد از تعیین پارامتر K ، محاسبه بعدی شامل تعیین نمودن α_p با استفاده از معادله (۱۶) و (۱۷) می باشد. در تعیین K که برای α_p نیاز است، بسادگی قابل تشخیص است که ضخامت صفحه اثری ندارد. بنابراین α_p بطور معکوس با h^2 تناسب

جدول (۱) محاسبه گمیت های متعدد ضربه برای صفحه در کسرهای حجمی مختلف الیاف.

ν_f	λ	F_{max}	t_c	I_{max}	E_{max}	w_{max}
		(N)	(μs)	(Ns)	(J)	(μm)
۰/۰	۳/۴۴۵۰	۱۴۴/۷۶	۴۰۱۴/۱۷	۰/۱۱۰۱	۰/۰۲۷۱	۳۳۱/۳۸
۰/۱	۳/۱۵۲۵	۱۸۰/۴۵	۲۹۶۳/۳۳	۰/۱۱۰۲	۰/۰۲۷۰	۲۶۹/۴۸
۰/۲	۲/۸۴۷۵	۲۰۴/۵۳	۲۳۷۸/۸۱	۰/۱۱۰۴	۰/۰۲۷۰	۲۲۶/۶۰
۰/۳	۲/۶۴۷۰	۲۳۲/۸۷	۱۹۴۷/۰۰	۰/۱۱۰۶	۰/۰۲۶۹	۱۹۶/۲۳
۰/۴	۲/۵۰۱۳	۲۶۲/۱۹	۱۶۲۷/۳۶	۰/۱۱۰۸	۰/۰۲۶۹	۱۷۲/۲۷
۰/۵	۲/۳۹۰۹	۲۹۴/۲۳	۱۳۸۶/۰۰	۰/۱۱۱۰	۰/۰۲۶۹	۱۵۲/۰۰
۰/۶	۲/۳۰۴۶	۳۳۱/۶۸	۱۱۸۴/۵۰	۰/۱۱۱۲	۰/۰۲۶۹	۱۳۴/۰۰
۰/۷	۲/۲۳۶۳	۳۷۷/۱۵	۱۰۰۳/۶۰	۰/۱۱۱۴	۰/۰۲۶۸	۱۱۷/۱۸
۰/۸	۲/۱۸۰۰	۴۳۷/۳۹	۸۴۵/۶۰	۰/۱۱۱۶	۰/۰۲۶۸	۱۰۰/۵۷
۰/۹	۲/۱۲۳۵	۵۳۰/۳۲	۶۸۰/۵۲	۰/۱۱۱۸	۰/۰۲۶۸	۸۲/۵۵
۱/۰	۱/۹۵۱۱	۷۵۶/۴۸	۴۳۸/۵۳	۰/۱۱۲۷	۰/۰۲۶۷	۵۶/۹۵

اثر کسر حجمی الیاف

۲.۰ ≤ λ. برای ضربه زننده کوچکتر با شعاع ۱۲ میلیمتر و سرعت پایین ۲۵ / ۰ متر بر ثانیه، حداکثر نیروی جنبش دهنده ۱.۲۵۶ $m_s v_0$ است. هر چند، برای ضربه زننده با شعاع ۱۸ میلیمتر و بزرگتر و همه سرعت‌ها، نیروی جنبش دهنده خیلی نزدیک به $m_s v_0$ می‌شود. سرعت بالاتر یا جرم بزرگتر، نزدیکتر بودن حداکثر نیروی جنبش دهنده به $m_s v_0$ است. نهایتاً F_{max} به عنوان تابعی از v برای جرم‌های مختلف در شکل ۱۱ نشان داده است. در همین شکل نیز I_{max} و E_{max} بعنوان تابعی از v نشان داده شده است. رفتار خطی I_{max} و E_{max} در نتایج تجربی [۲۱] تأیید گردیده است.

اثر جرم ضربه زننده

مشاهدات بالا نسبت به برآمدگی قبل از E_{max} و $I_{max} \geq m_s v_0$ برای مقادیر پایین λ در اینجا نیز معتبر است. شکل ۱۲، E_{max} ، I_{max} را به عنوان تابعی از v برای F_{max} متفاوت نشان می‌دهد. اثر جرم ضربه زننده بر روی F_{max} نسبتاً در ابتدا قابل توجه است، لیکن F_{max} بتدریج کاهش می‌یابد و به عکس وابستگی خطی F_{max} به v_0 است.

اثر انرژی جنبشی ضربه زننده

اثر $m_s v_0$ را می‌توان بوسیله انرژی جنبشی ضربه زننده به عنوان پارامتر حاکم، ترکیب کرد. هر دو I_{max} و F_{max} شکل ۱۳ به عنوان تابعی از انرژی جنبشی ضربه زننده دقیقاً قبل از رخداد ضربه نشان داده شده است.

نتیجه گیری

آنالیز ارجاعی صفحه کامپوزیت الیافی پیوسته (ارتوتروپیک) در معرض ضربه عرضی بواسطه یک جرم متحرک با استفاده از روش تحلیلی متناسب [۵] نشان می‌دهد که واکنش صفحه کاملاً بوسیله یک پارامتر بنام λ تعریف می‌شود. در تحقیقات حاضر نشان داده شده است که این پارامتر مؤلفه λ دارد که وابسته به کسر حجمی v است، در صورتیکه مؤلفه دیگر λ می‌باشد که وابسته به سرعت، جرم ضربه زننده و ضخامت صفحه می‌باشد. واکنش صفحه در قالب کمیت‌های بی بعد تعریف گردیده و اثر λ بر این کمیت‌ها مطالعه گردیده است. تأثیر کسر حجمی تقویت کننده بر حداکثر نیروی ضربه، حداکثر خیز مرکزی، و حداکثر انرژی ضربه بطور کامل بررسی گردیده و نتایج مفیدی برای طراحان بدست آمده است. همچنین نقش پارامترهای ضربه زننده مانند جرم، سرعت و انرژی جنبشی بطور جداگانه بحث گردیده است.

کسر حجمی الیاف شیشه در صفحه‌ای به ضخامت ۸ میلیمتر از ۰ (برای اپوکسی خالص) تا ۱ (فقط الیاف شیشه) تغییر می‌کند. لیکن بطرور واقع v از ۷ / ۰ تجاوز نمی‌کند. جرم ضربه زننده ۲۲ / ۰ کیلوگرم و سرعت آن ۵ / ۰ متر بر ثانیه است. شعاع انحنای دماغه ضربه زننده در نزدیکی تماس ۱۷ میلیمتر می‌باشد. این اطلاعات از مرجع [۵] گرفته شده است. محاسبات بر پایه این اطلاعات در جدول ۱ آورده شده است. از جدول مشاهده می‌شود که برای یک ضربه زننده مشخص با سرعت معلوم، نتایج زیر حاصل می‌گردد:

۱- حداکثر نیروی ضربه تابع فراینده در v است. وقتی v از ۱ / ۰ تا ۷ / ۰ افزایش می‌یابد، این نیرو بیش از ۱۰۰٪ افزایش دارد.

۲- حداکثر نیروی جنبش دهنده وارد به صفحه تقریباً با مقدار ۱۱ / ۰ نیوتون ثانیه ثابت است که برابر با $m_s v_0$ می‌باشد.

۳- حداکثر خیز در زیر محل ضربه تابع کاهنده در v است. چنانچه v از ۱ / ۰ تا ۷ / ۰ تغییر کند، این خیز تقریباً بیش از ۵٪ کاهش می‌یابد.

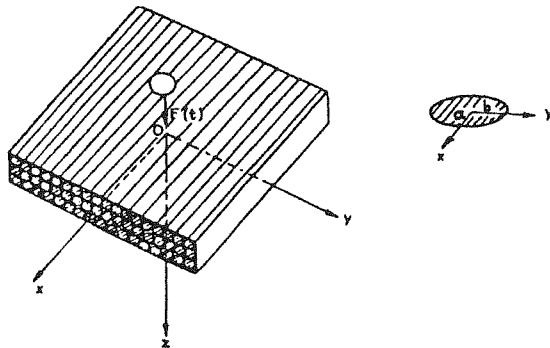
۴- حداکثر انرژی ضربه انتقال یافته به صفحه بوسیله ضربه زننده تقریباً ثابت است و مقدار آن خیلی نزدیک به $\frac{m_s v_0^2}{2}$ می‌باشد، یعنی انرژی جنبشی ضربه زننده.

۵- زمان تماس پیوسته کاهش می‌یابد. مقدار آن برای کسر حجمی ۷ / ۰ یک سوم کسر حجمی ۱ / ۰ است. برای یک صفحه با کسر حجمی مشخص ۶ / ۰، مناسب است تا نقش سه پارامتر ضربه زننده را بررسی کنیم، یعنی جرم، سرعت و انرژی جنبشی ضربه زننده. در نتیجه ضربه زننده‌های متفاوتی با شعاع‌های مختلف و سرعت‌های مختلف در نظر گرفته شده است. نتایج به صورت زیر می‌باشد.

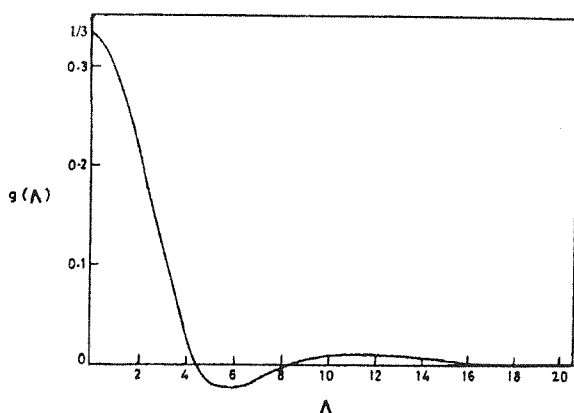
اثر سرعت ضربه زننده

وقتی سرعت تغییر کند، ولی جرم ضربه زننده ثابت باشد، انرژی وارد به صفحه با زمان افزایش می‌یابد و به مقدار $E_{max} = \frac{m_s v_0^2}{2}$ می‌رسد. در اکثر حالات این پدیده بازآمیز رخ می‌دهد، هر چند وقتی جرم و سرعت ضربه زننده کوچک باشد، بطوریکه $1.7 \leq \lambda$ باشد، یک برآمدگی واضح قبل از رسیدن به مقدار $\frac{m_s v_0^2}{2}$ بوجود می‌آید. این پدیده مشابه با حالتی است که در شکل ۷ برای بارگذاری پالس نیم سینوسی نشان داده شده است. اوج برآمدگی با افزایش λ کاهش می‌یابد. در همه حالات نقطه اوج برآمدگی خیلی بعد از رخداد F_{max} اتفاق می‌افتد. حداکثر نیروی جنبش دهنده وارد به صفحه دوباره بوسیله $I_{max} = m_s v_0$ می‌شود، به غیر از

و صفحه	
سرعت ضربه زننده	v_0
كسر حجمی الیاف	v_f
خیز سطح میانی صفحه	$w(x,y,t)$
تغییر مکان ضربه زننده	w_s
پارامتر صفحه	α_p
پارامتر صفحه با توجه به ضخامت	α_p^*
واحد صفحه	
تقارب نسبی بین اجسام در تماس	δ
ضریب نامدواری بیضی تماس	ϵ
پارامتر ضربه	λ
نسبت پواسون مواد ایزوتروپیک	ν
دو نسبت پواسون صفحه کامپوزیت	ν_{12} و ν_{21}
در سطح میانی	
دانسیته ماده صفحه	ρ



شکل (۱) یک لایه ارتوتروپیک در معرض ضربه عرضی.
جزئیات سطح تماس نیز نشان داده شده است.

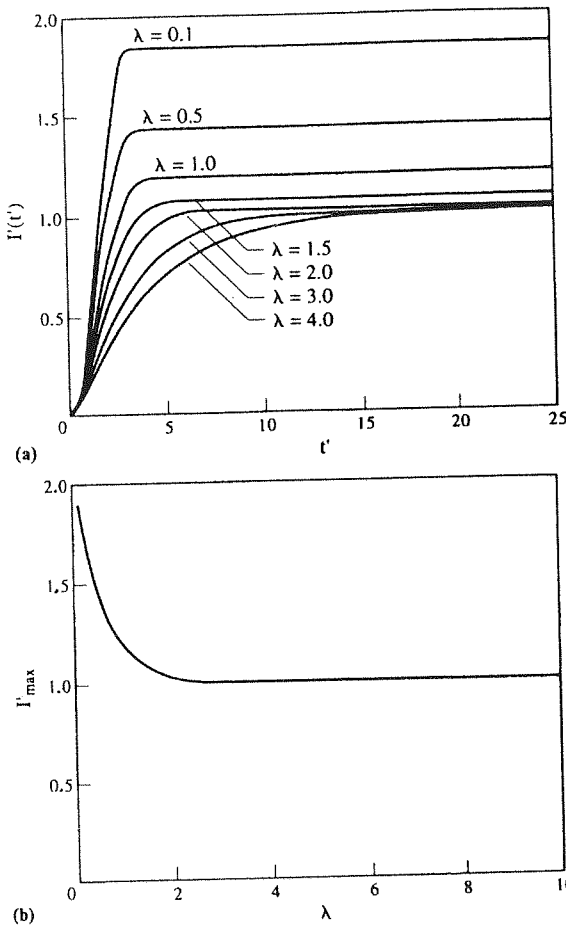


شکل (۲) تغییرات تابع $g(\Lambda)$ با Λ .

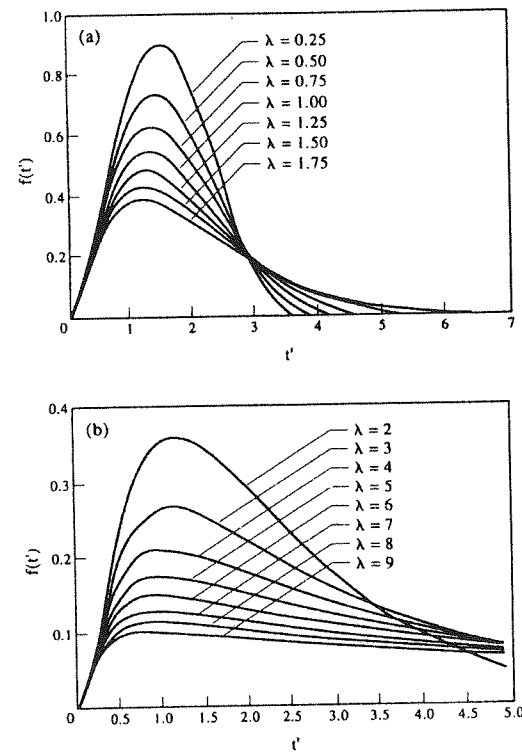
برای مقادیر پایین λ که سرعت پایین یا جرم پایین ضربه را نشان می‌دهد، افزایش‌های غیرمنتظره‌ای در انرژی ضربه و نیروی جنبش دهنده وارد به صفحه مشاهده گردیده است که نشان می‌دهد ضربه با λ پایین، خرابی‌های قابل توجهی وارد می‌کند. نهایتاً، می‌توان تنش‌ها و کرنش‌های خمشی در زیر محل ضربه را نیز محاسبه نمود. بوضوح می‌توان اظهار نمود که λ در تعیین حداقل تنش‌ها و کرنش‌ها بسیار مؤثر است.

فهرست علائم

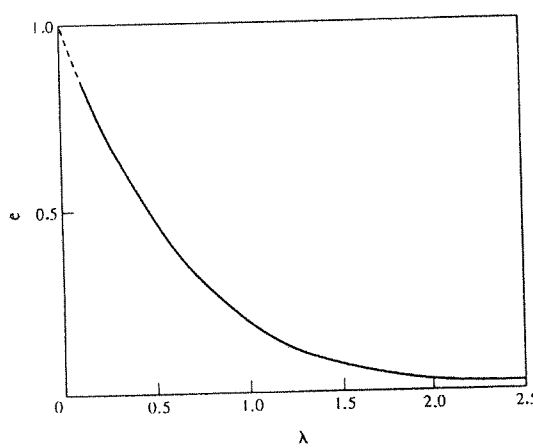
D_1 و D_2	سفرتی‌های خمشی صفحه به ترتیب در امتداد و عمود بر جهت الیاف
D_3	سفرتی پیچشی مؤثر صفحه
D_{16} و D_{26}	کوپل خمشی - پیچشی
E	مدول ارجاعی مواد ایزوتروپیک
E(t)	انرژی جذب شده بوسیله صفحه در هر زمان
E_{max}	حداکثر انرژی جذب شده بوسیله صفحه
E_1 و E_2	مدول ارجاعی صفحه کامپوزیت در امتداد و عمود بر جهت الیاف
F(t)	نیروی ضربه
F_{max}	حداکثر نیروی ضربه
G	مدول برشی مواد ایزوتروپیک
G_{12}	مدول برشی صفحه کامپوزیت در سطح میانی
I(t)	نیروی جنبش دهنده
I_{max}	حداکثر نیروی جنبش دهنده
K	پارامتر هرتز - اسوکلو برای تماس
b و a	نیم محورهای اصلی منطقه بیضی تماس
e	ضریب برگشت پذیری بین صفحه و ضربه زننده
f	نیروی بی بعد
$f(x,y,t)$	نیروی ضربه عرضی وابسته به زمان
h	ضخامت صفحه
m_s	جرم ضربه زننده
t_c	زمان تماس
t'	زمان بی بعد
t_{max}	زمان بی بعد که در آن f'_{max} رخ می‌دهد
t_c'	زمان بی بعد تماس بین ضربه زننده



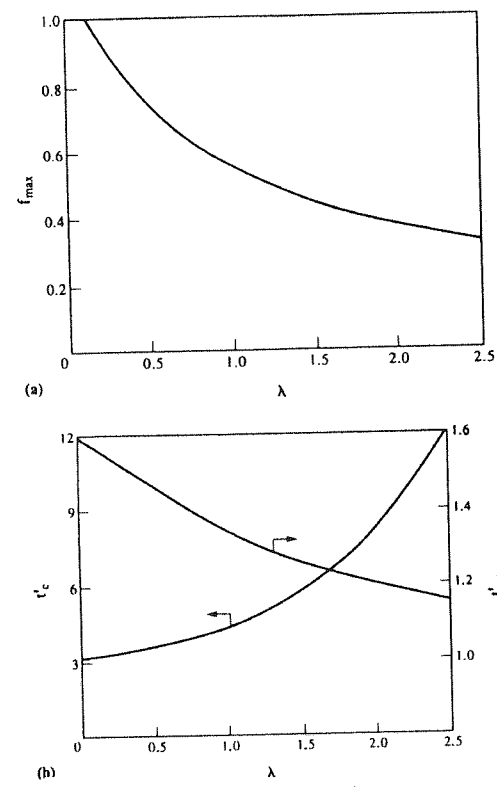
شکل (۵) (a) نیروی جنبش دهنده بی بعد (t') I' بعنوان تابعی از زمان
بی بعد برای مقادیر مختلف λ . (b) وابستگی حداکثر نیروی
جهنش دهنده بی بعد به λ .



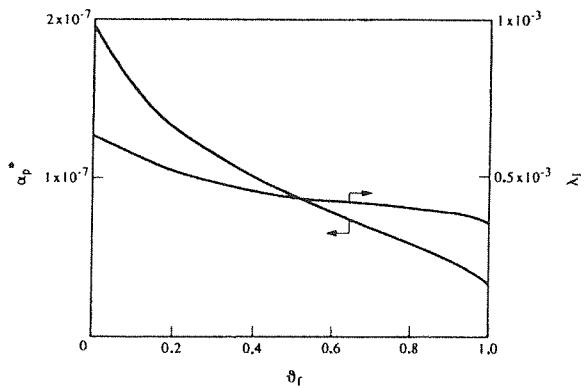
شکل (۳) نیروی بی بعد در مقابل زمان بی بعد برای مقادیر مختلف پارامتر
ضربه (a) $0 \leq \lambda \leq 1.75$ (b) $2 \leq \lambda \leq 9$



شکل (۶) وابستگی ضریب برگشت پذیری α به پارامتر ضربه λ .

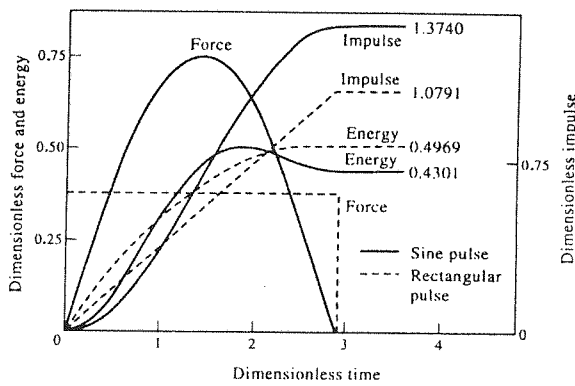


شکل (۴) (a) حداکثر نیروی ضربه بی بعد بعنوان تابعی از پارامتر ضربه.
(b) زمان بی بعد تماش t و زمان بی بعد رخداد
 λ بعنوان تابعی از f_{\max}



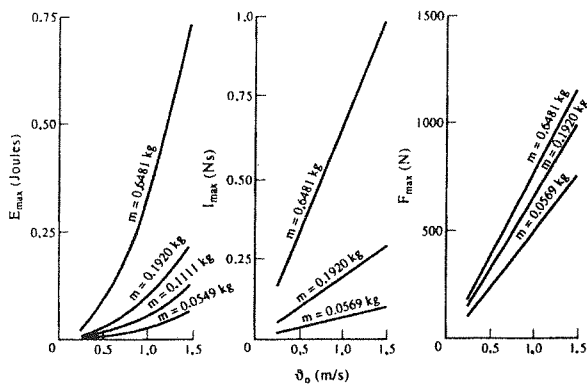
شکل (۱۰) تغییرات پارامتر صفحه با ضخامت واحد

برای پالس مستطیلی (—) و پالس نیم سینوسی (-)



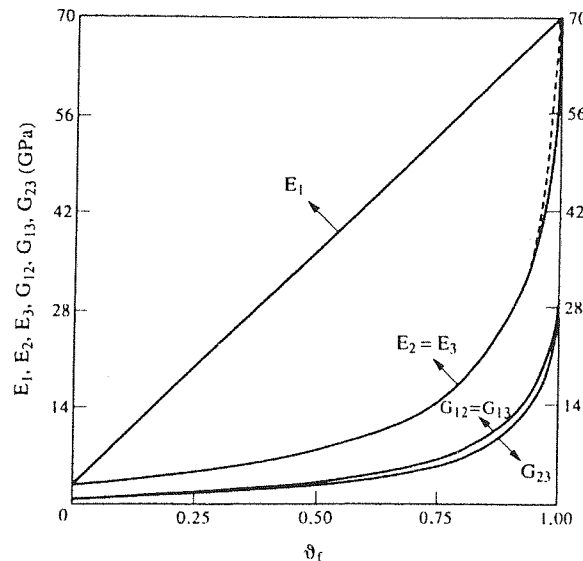
شکل (۷) تغییرات نیرو، نیروی جنبش دهنده و انرژی با زمان

برای پالس مستطیلی (—) و پالس نیم سینوسی (-)



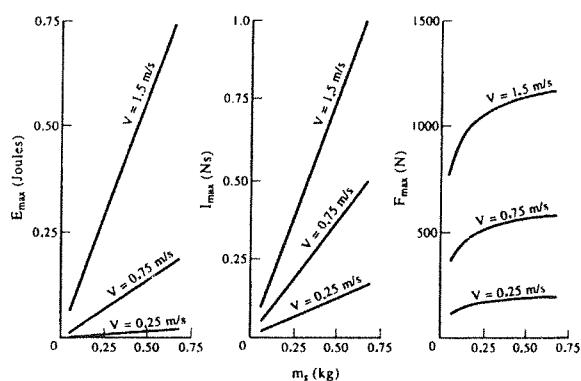
شکل (۱۱) تغییرات E_{\max} , I_{\max} و F_{\max} بعنوان تابعی از سرعت

ضریب v_0 برای جرم‌های مختلف ضربه



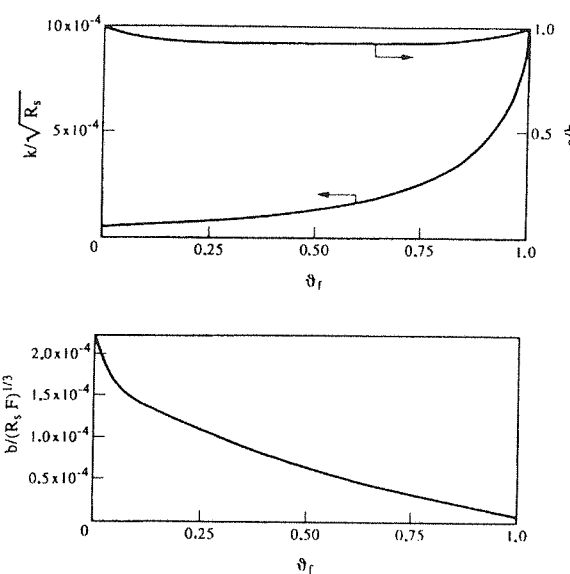
شکل (۸) تغییرات ثابت‌های ارتتعاعی کامپوزیت اپوکسی تقویت شده به

الیاف شبیه بعنوان تابعی از کسر حجمی الیاف.

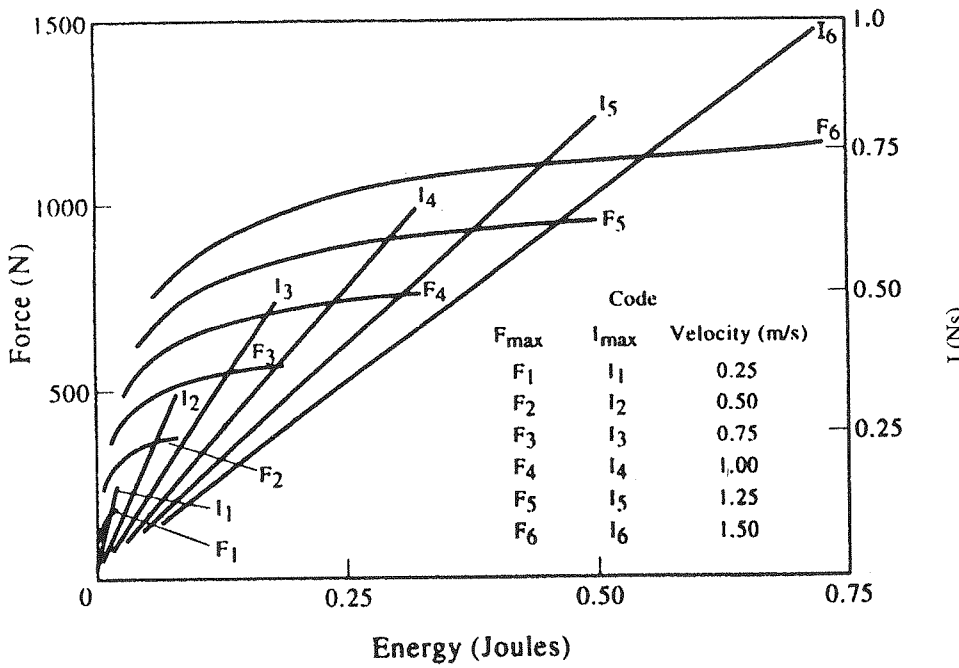


شکل (۱۲) تغییرات E_{\max} , I_{\max} و F_{\max} بعنوان تابعی از جرم

ضریب v_0 برای سرعت‌های مختلف ضربه



شکل (۹)وابستگی پارامترهای مختلف تماس به کسر حجمی الیاف.



شکل (۱۳) وابستگی حداکثر نیروی ضربه و حداکثر نیروی جنبش دهنده به انرژی جنبشی ضربه زننده برای مقادیر مختلف سرعت ضربه.

مراجع

- [1] Hyer, M. W., McGraw-Hill, 1998.
- [2] Ghasemi Nejhad, M.N. & Parvizi-Mazidi, J. Composites, 21, 1990, 155.
- [3] Rydin, R.W., Bushman, M.B. & Karbhari, V.M., J. Reinforced Plastics & Composites, 14, 1995, 113.
- [4] Mittal, R.K. & Khalili, M.R., J. AIAA, 32, 1994, 850.
- [5] Khalili, M.R., Ph.D. Thesis, I.I.T., New Delhi, 1992.
- [6] Mittal, R.K. & Khalili, M.R., ASCE Publishers, New York, 1993, 94.
- [7] Abrate, S., Key Engineering Materials, Vols. 141-143, 1998, 671.
- [8] Carvalho, A. & Guedes Soares, C., Composite Structures, 34, 1996, 55.
- [9] Abrate, S., Cambridge University Press, 1998.
- [10] Kim, J.K. & Kang, K.W., Composite Science & Technology, 61, 1, 2001, 135.
- [11] Choi, H.Y., Wang, H.S. & Chang, F.K., J. of Composite Materials, 26, 6, 1992, 804.
- [12] Chang, F.K., Choi, H.Y. & Downs, R.J., J. of Composite Materials, 25, 8, 1991, 992.
- [13] Chang, F.K., Choi, H.Y. & Wu, H.Y.T., J. of Composite Materials, 25, 8, 1991, 1012.
- [14] Vinson, J.R. & Sierakowski, R.L., Kluwer Publisher, 1993.
- [15] Mittal, R.K., Int. J. Solids & Structures, 23, 1987, 1191.
- [16] Schwieger, H., Forsch. Ing.-Wes., 40, 1975, 122.
- [17] Mittal, R.K., Schwieger, H. & Truppat, V. J., J. Aero. Soc. India, 28, 1976, 265.
- [18] Dobyns, A.L., J. AIAA, 19, 1981, 642.
- [19] Sveklo, V.A., J. Appl. Math. Mech., 38, 1974, 1023.
- [20] Hertz, H., Joh. Ambrosius Barth, Leipzig, 1895.
- [21] Frischbier, J., Report No. 51, Ruhr Universitat, Bochum, 1987.
- [22] Greszczuk, L.B., John Wiley, New York, 1982.
- [23] Sneddon, I.N., Proc. Camb. Phil. Soc., 41, 1945, 27.
- [24] Mittal, R.K. & Khalili, M.R., Wiley Eastern Ltd., New Delhi, 1993.
- [25] Chow, T.S., J. Composite. Material., 5, 1971, 306.
- [26] Boussinesq, J.N., Gauthier-Villars, Paris, 1885.
- [27] Timoshenko, S.P., Zeitschrift fur Mechanik und Physik, 62, 1913, 198.
- [28] Zener, C., Phys. Rev., 59, 1941, 669.
- [29] Agarwal, B.D. & Broutman, L. J., John Wiley & sons, New York, 1980.
- [30] Sun, C.T., ASTM STP 617, American Soc. for Testing and Materials., Philadelphia, PA, 1977.
- [31] Kriz, R.D. & Stinchcomb, W.W., Exp. Mech., 19, 1979. 41.